

## پیش‌بینی قابلیت رخداد بهممن در محور میگون- شمشک با استفاده از رگرسیون لجستیک رخدادهای نادر

کاظم نصرتی<sup>۱</sup> - دانشیار گروه جغرافیای طبیعی دانشگاه شهید بهشتی، تهران، ایران  
سارا کیاشمشکی - دانش‌آموخته کارشناسی ارشد دانشگاه شهید بهشتی، تهران، ایران  
محمد مهدی حسین‌زاده - دانشیار گروه جغرافیای طبیعی دانشگاه شهید بهشتی، تهران، ایران

تاریخ دریافت: ۱۳۹۴/۵/۳۱ تاریخ تصویب: ۱۳۹۵/۱/۱۶

### چکیده

سقوط بهممن، زیستگاه‌ها و جاده‌ها را در مناطق کوهستانی پر شیب تهدید می‌کند. از آنجاکه در کشور ایران، نزولات آسمانی در نقاط کوهستانی به صورت برف است، شرایط تشکیل بهممن نیز وجود دارد. هدف از این پژوهش، بررسی نقش عوامل مؤثر بر رخداد بهممن و پهنه‌بندی آن در محور میگون- شمشک است. این محور در حوضه آبخیز شمشک با وسعتی در حدود ۳۷/۷۵ کیلومترمربع در شمال شرقی تهران در شهرستان شمیران واقع شده است. به منظور تهیه نقشه مناطق حساس به رخداد بهممن از روش رگرسیون لجستیک رخدادهای نادر استفاده شد. به این منظور لایه‌های مورد نیاز شامل لایه طبقات ارتفاعی، طبقات شیب، جهت شیب، شکل دامنه، رخنمون سنگی و زمین‌شناسی تهیه و نقشه‌ها استاندارد شدند و نقشه مناطق خطر بهممن تهیه شد. با توجه به نتایج رگرسیون لجستیک رخدادهای نادر به ترتیب لایه‌های شکل دامنه، ارتفاع، رخنمون‌های سنگی، شیب، جهت شیب به‌عنوان عوامل مؤثر در منطقه تراکم برف شناخته شده‌اند. همچنین نقشه مناطق حساس به رخداد بهممن به روش رگرسیون لجستیک رخدادهای نادر در سه کلاس خطر زیاد، متوسط و کم به دست آمد که کلاس‌های خطر کم ۶۷/۳۵ درصد، خطر متوسط ۲۴/۵۹ درصد و خطر زیاد ۸/۰۶ درصد از مساحت کل حوضه را به خود اختصاص داده‌اند. نتایج حاصل از اجرای مدل رگرسیون لجستیک رخدادهای نادر مهم‌ترین عامل در تراکم برف را شکل دامنه شناخت. نتایج حاصل از اعتبارسنجی مدل برای رگرسیون لجستیک رخدادهای نادر مقدار ۰/۷۵ بود.

**کلیدواژه‌ها:** بهممن برف، تهیه نقشه خطر بهممن، مدل رگرسیون لجستیک رخدادهای نادر، محور میگون - شمشک.

## ۱. مقدمه

مناطق کوهستانی در معرض خطرهای متفاوتی شامل بهمن‌ها، جریانات واریزه، لغزش‌ها و ریزش سنگ قرار دارد (استراب و گرت-رگامی<sup>۱</sup>، ۲۰۰۶: ۱۹۲). کوهستان‌ها جایگاه اصلی برای شکل‌گیری بهمن‌ها در آن می‌باشند. خصوصیاتمانند ارتفاع، زاویه شیب، پوشش گیاهی و آب‌وهوا مشخص‌کننده قابلیت کوهستان برای رخداد بهمن می‌باشند (آرمسترانگ و ناکس، ۱۹۴۳: ۹۵). نقش بستر جغرافیایی که در بعضی مناطق موانع بسیار سخت ایجاد می‌کند، در احداث شبکه راه‌های ارتباطی از جمله آزادراه‌ها، بزرگراه‌ها، راه‌های اصلی، راه‌های فرعی و روستایی از اهمیت خاصی برخوردار است. سالانه مبالغ زیادی صرف احداث و نگهداری از راه‌ها در مناطق کوهستانی می‌شود که هزینه زیادی را بر اقتصاد کشور وارد می‌کند (فلاح تبار، ۱۳۷۹: ۴۷). بهمن دومین عامل فرسایش خاک است و اغلب در مناطقی شروع می‌شود که در اثر فرسایش آبی شکل گرفته‌اند. بهمن‌ها با فرسایش خاک سبب تخریب آن می‌شوند و امنیت غذایی را که به خاک وابسته است را تهدید می‌کنند. به‌طور کلی صدمات ناشی از بهمن را در چند مورد می‌توان خلاصه کرد: کندن سنگ و خاک، آسیب به مراتع و جنگل‌ها، آسیب به زمین‌های کشاورزی، آسیب به ساختمان‌ها و مراکز ارتباطی و از همه مهم‌تر خطراتی که انسان‌ها و حیوانات را تهدید می‌کند (فائو، ۱۹۹۲: ۳۵)

کشور ایران نیز به لحاظ شرایط اقلیمی و جغرافیایی، کشوری حادثه‌خیز محسوب می‌گردد به‌گونه‌ای که دهمین کشور بلاخیز دنیا و چهارمین کشور بلاخیز قاره آسیا است (سجادیان و همکاران، ۱۳۹۲: ۷۴). عمده مناطق بهمن‌خیز ایران بر روی دو رشته‌کوه اصلی یعنی البرز و زاگرس واقع شده است. از نظر وفور وقایع بهمن رشته‌کوه البرز مرکزی دارای بیشترین تکرار حادثه می‌باشد (احمدی و نصری، ۱۳۸۶: ۱۴). در راه‌های کوهستانی و برف‌گیر ریزش بهمن اجتناب‌ناپذیر است و محور میگون- شمشک نیز به خاطر شرایط خاص ژئومورفولوژیکی که دارد از این امر مستثنی نیست. محور میگون- شمشک در حوضه آبخیز شمشک قرار دارد. تحقیقی در آلپ سوئیس با عنوان تهیه نقشه پهنه‌بندی خطر بهمن با داده‌های ماهواره‌ای و مدل ارتفاعی دیجیتال توسط گروبر<sup>۲</sup> و هافنر<sup>۳</sup> (۱۹۹۵) انجام شد که بر پایه تصاویر ماهواره‌ای لندست<sup>۴</sup> TM و DEM<sup>۵</sup> بود. رایس جری<sup>۶</sup> و همکاران (۲۰۰۲) به‌منظور کاهش خطر بهمن در دالان‌های حمل‌ونقل به مطالعه‌ای در جاده‌های آیداهو و یومینگ در غرب ایالت متحده امریکا پرداختند. آن‌ها برای کاهش خطر بهمن برای رانندگان و سائل

1 Straub and Grêt-Regamey

2 Gruber

3 Haefner

4 Landsat Thematic Mapper

5 digital elevation model

6 Rice Jr

نقلیه و کارکنان راهداری از یک سیستم هشدار استفاده کردند. گاسنر<sup>۱</sup> و برابس<sup>۲</sup> (۲۰۰۲) در مطالعه‌ای با عنوان مدل‌های نزدیک‌ترین همسایه برای پیش‌بینی بهمن دو روش NXD2000 (مدل پیش‌بینی بهمن در مقیاس محلی) و NXD REG (مدل پیش‌بینی بهمن در مقیاس منطقه‌ای) را در مؤسسه فدرال سوئیس ارائه داده‌اند. هر دوی این روش‌ها از روش‌های نزدیک‌ترین همسایه هستند اما در مقیاس‌های متفاوت. به‌طور کلی منابع مطالعاتی در خصوص مسأله بهمن در ایران محدود می‌باشد. از جمله مطالعاتی که راجع به بهمن انجام شده است می‌توان به مطالعه‌ای که توسط محمدی (۱۳۷۴) با عنوان بررسی بهمن و شناسایی گذرگاهی آن در حوضه آبریز سیروان در غرب کوه آبیدر انجام شده است، اشاره کرد. در بررسی که توسط احمدی و نصری (۱۳۸۶) بر روی وضعیت بهمن خیزی دره سه پستان در فریدون‌شهر اصفهان انجام گرفت از قابلیت‌های نرم‌افزار GIS<sup>۳</sup> برای تهیه نقشه ژئومورفولوژی منطقه استفاده شد. ارزیابی خطر ناشی از سقوط بهمن و راه‌های پیشگیری از آن با استفاده از تکنیک‌های سنجش از دور و سیستم اطلاعات جغرافیایی (RS<sup>۴</sup> & GIS) مطالعه موردی: گردنه ژالانه در شهرستان مریوان عنوان مقاله صفریان و سردشتی (۱۳۸۶) است. در این پژوهش از نقشه‌های توپوگرافی، زمین‌شناسی، عکس‌های هوایی، تصاویر ماهواره‌ای ETM<sup>۵</sup> ۲۰۰۲ و MODIS<sup>۶</sup> و داده‌های هواشناسی و هیدرولوژی استفاده شد. در مطالعه قنواتی و کریمی (۱۳۸۷) با عنوان پهنه‌بندی خطر بهمن در جاده هراز براساس ویژگی‌های ژئومورفولوژی آن‌ها با تفسیر عکس‌های هوایی، تصاویر ماهواره‌ای و نقشه‌های توپوگرافی و زمین‌شناسی و بازدیدهای میدانی نقشه نقاط بهمن خیز را تهیه کردند. نقشه‌های خطر بهمن در بیشتر کشورهای اروپا و آمریکا شمالی، طبق معیارهای فنی تعیین شده توسط راهنمای سرویس جنگل‌های ملی سوییس و موسسه پژوهش‌های فدرال برف و بهمن تهیه شده است (زارع بیدکی و همکاران، ۱۳۸۸: ۲۹۶). با توجه به موارد مذکور پژوهش جاری به بررسی نقش عوامل مؤثر بر رخداد بهمن و پهنه‌بندی آن در محور میگون- شمشک می‌پردازد. اهداف عمده این بررسی عبارت‌اند از: شناسایی مناطق پرخطر، شناسایی عوامل مؤثر بر شکل‌گیری بهمن و تهیه نقشه خطر بهمن.

## ۲. منطقه مورد مطالعه

محور میگون- شمشک در حوضه آبخیز شمشک قرار دارد و این منطقه با وسعتی در حدود ۳۷/۷۵ کیلومتر مربع و دارای طول جغرافیایی "۴۹°۲۶'۵۱" تا "۳۹°۳۱'۵۱" و عرض جغرافیایی "۲۸'۵۷" تا "۳۵'۱۵"

1 Gassner

2 Brabes

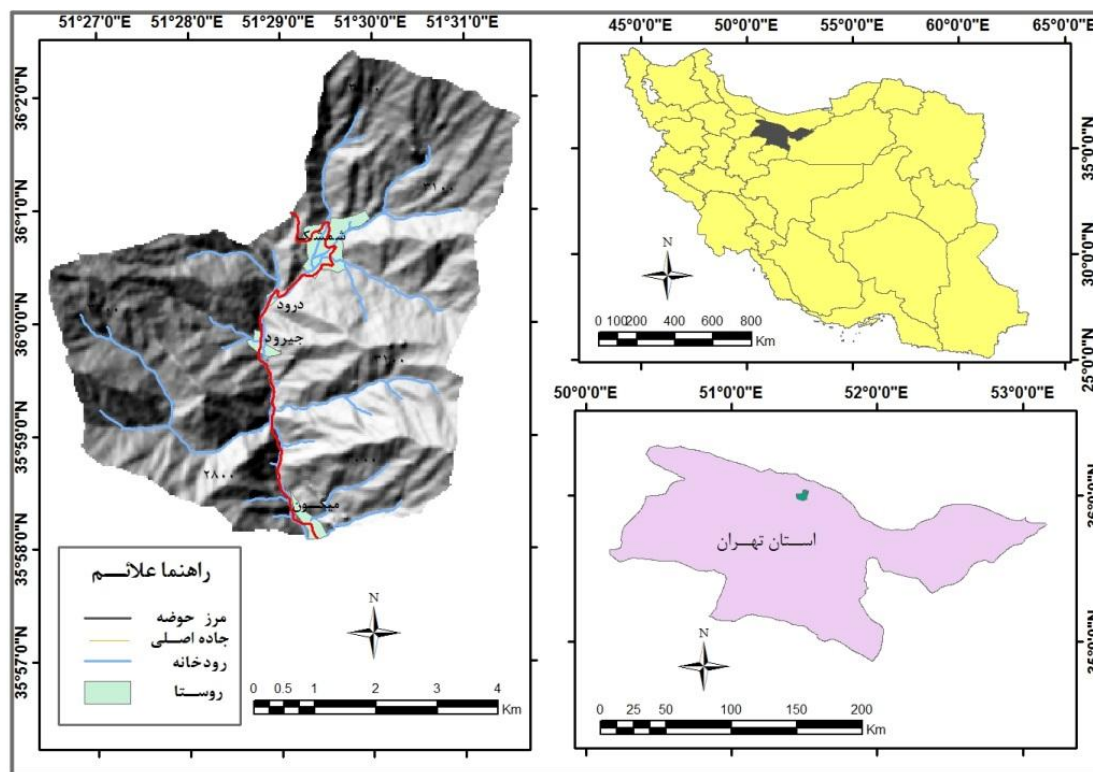
3 Geographic Information System

4 Remote Sensing

5 Enhanced Thematic Mapper

6 Moderate Resolution Imaging Spectroradiometer

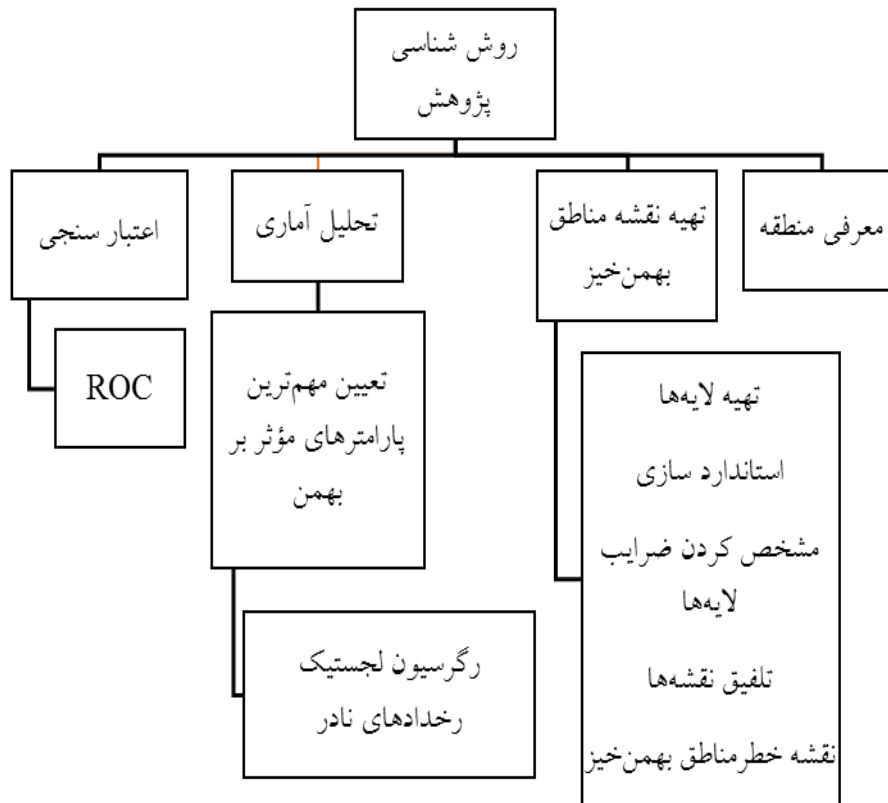
۳۶° ۳' در شمال شرقی تهران در شهرستان شمیرانات بخش رودبار قصران واقع شده است (شکل ۱). کمترین ارتفاع حوضه در نقطه خروجی برابر با ۲۲۰۰ متر و بیشترین ارتفاع حوضه مقدار ۴۲۰۰ متر می‌باشد.



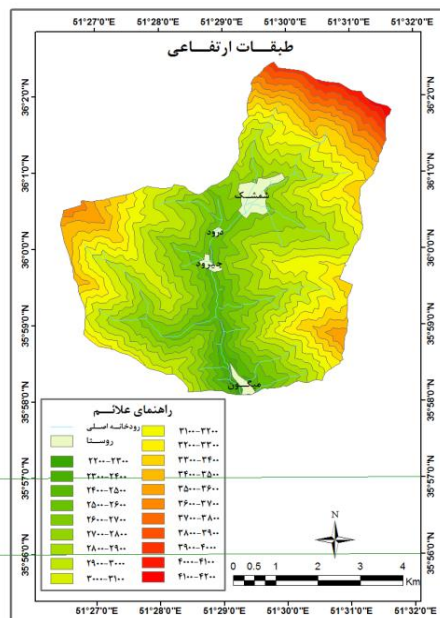
شکل ۱ موقعیت جغرافیایی حوضه شمشک

### ۳. مواد و روش‌ها

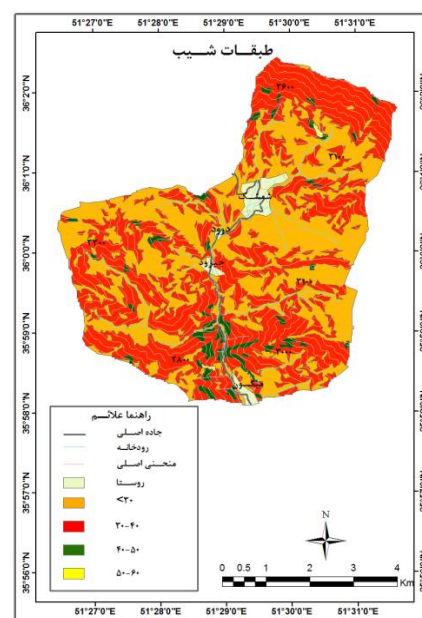
در این پژوهش از نقشه‌های توپوگرافی با مقیاس ۱:۲۵۰۰۰، نقشه‌های زمین‌شناسی با مقیاس ۱:۱۰۰۰۰۰، تصاویر Google Earth استفاده شد. در بررسی حاضر برای ورود و ذخیره‌سازی اطلاعات، تحلیل‌ها و پهنه‌بندی خطر وقوع بهمین در محور میگون- شمشک از سیستم اطلاعات جغرافیایی (GIS) استفاده شده است. متغیرهای مستقل شامل لایه‌های طبقات ارتفاعی، جهت شیب، شیب و شکل دامنه که از طریق نقشه توپوگرافی به دست آمد. همچنین لایه زمین‌شناسی از نقشه زمین‌شناسی حاصل شد. به کمک تصاویر گوگل ارث رخنمون‌های سنگی منطقه ترسیم شد و در محیط ARCGIS به لایه پلیگونی تبدیل شد و مساحت هر واحد به دست آمد. به کمک تصاویر Google Earth و شناخت محقق از منطقه، مناطق تراکم برف شناسایی شدند و در نرم‌افزار ARCGIS به لایه پلیگونی تبدیل شد (شکل ۳).



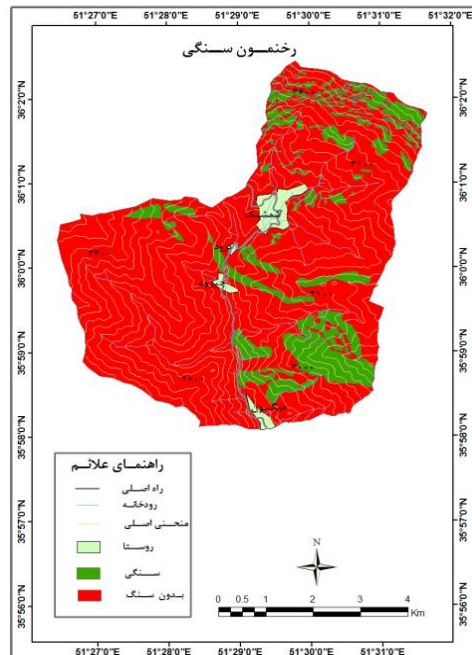
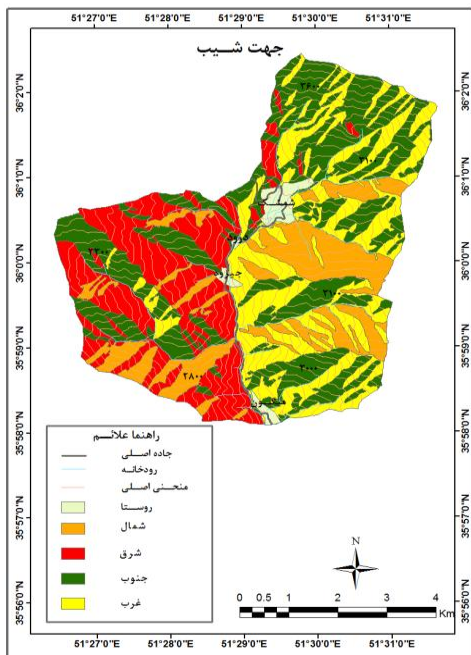
شکل ۲ نمودار خلاصه روش شناسی پژوهش



ب) نقشه طبقات شیب به درجه

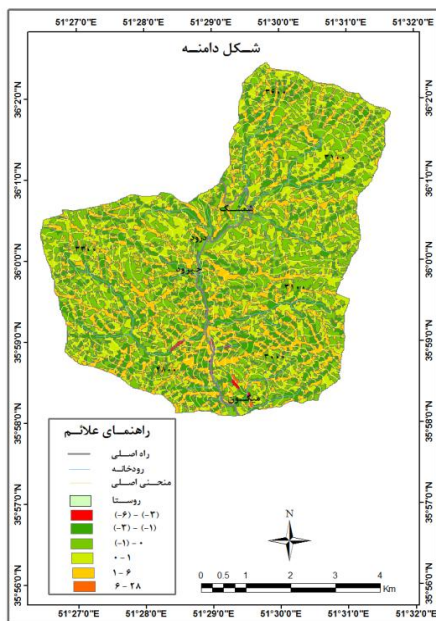


شکل ۳ الف) نقشه طبقات ارتفاعی به متر

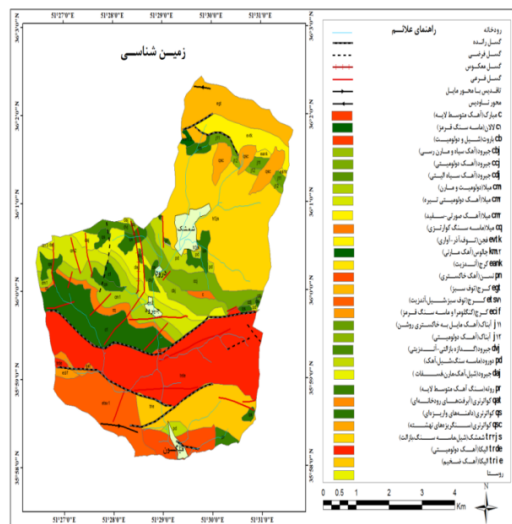


د نقشه رخنمون سنگی)

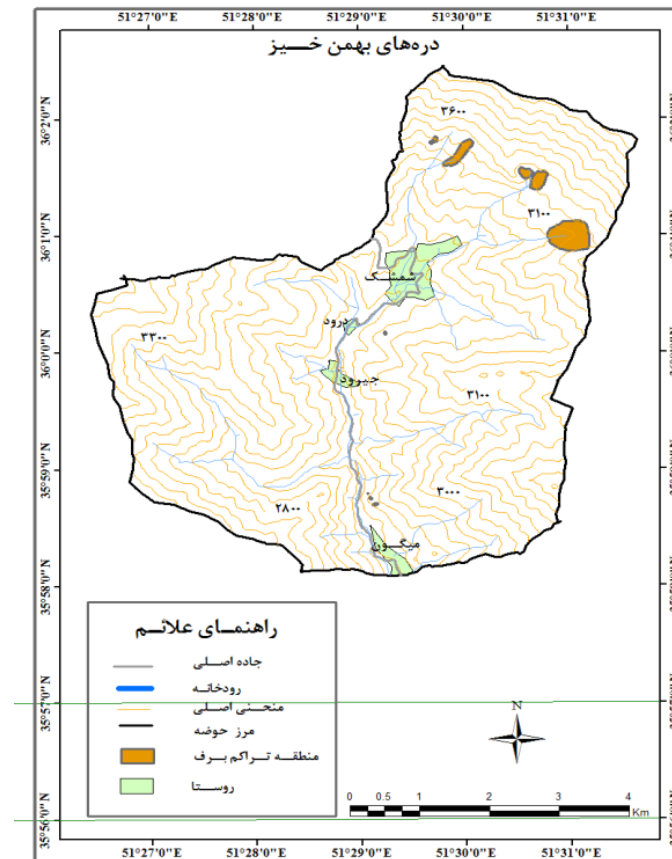
شکل ۳ ج (نقشه جهت شیب)



و (نقشه زمین شناسی)



شکل ۳ ه (نقشه شکل دامنه)



شکل ۳ ز (نقشه منطقه تراکم برف)

### رگرسیون لجستیک رخدادهای نادر

رگرسیون لجستیک عادی (OLR<sup>1</sup>) ارتباط بین یک متغیر پاسخ دو حالتی (وجود یا عدم وجود یک متغیر) و مجموعه‌ای از متغیرهای بیانگر ( $X_1, X_2, \dots, X_n$ ) را شرح می‌دهد. متغیرهای بیانگر ممکن است پیوسته یا گسسته (متغیرهای ساختگی) بوده و نیازی به توزیع فراوانی نرمال ندارند. تابع پاسخ لجستیک را می‌توان بدین صورت نوشت:

$$p(y_i = X_i) = \frac{\text{EXP}(B_1 + B_2 X_i + \dots + B_n X_i)}{1 + \text{EXP}(B_1 + B_2 X_i + \dots + B_n X_i)} \quad \text{رابطه ۱:}$$

در رابطه فوق:  $p$  = احتمال وقوع،  $B_1$  = ضریب ثابت،  $B_2$  = ضریب زاویه متغیرها (عرض از مبدأ)،  $Y_i$  = متغیر وابسته،  $X_i$  = متغیر مستقل و  $\text{EXP}$  = تابع نمایی است. واژه «داده‌های رخداد نادر» در علوم سیاسی بکار رفت تا متغیرهای وابسته دوتایی را با یک‌های هزاران بار کوچک‌تر از صفر توصیف کند. رگرسیون لجستیک، علی‌رغم محبوبیتش در صورتی که کل منطقه تأثیر یافته از آن متغیر بسیار کوچک‌تر از کل منطقه مورد مطالعه باشد ممکن

است مشکلاتی را سبب شود. برای جلوگیری از این مسائل اصلاحاتی در رگرسیون لجستیک عادی ایجاد شد و این روش رگرسیون لجستیک رخدادهای نادر نام گرفت. اولین اصلاح مربوط به انتخاب یک نمونه نماینده می‌باشد. بجای انتخاب تعداد مساوی از سلول‌های (پهنه بهمنی) و (پهنه غیر بهمنی) یک تا پنج بار بیشتر از سلول‌های (پهنه غیر بهمنی) باید انتخاب شود. انتخاب متغیرهای وابسته ممکن است نمونه‌گیری بر اساس ضرایب لجستیک را نشان دهد و بنابراین اصلاح ثانویه‌ای (که اصلاح مقدماتی نامیده می‌شود) نیاز است. با استفاده از شکست واقعی یک‌ها در جمعیت،  $T$ ، و شکست مشاهده شده یک‌ها در اطلاعات نمونه،  $\bar{y}$ ،  $\alpha$  جدا شده اصلاح شده را می‌توان به طریق زیر محاسبه کرد:

$$\alpha = \bar{\alpha} - 1n \left[ \left( \frac{1-T}{T} \right) \left( \frac{\bar{y}}{1-\bar{y}} \right) \right] \quad \text{رابطه ۲:}$$

با این وجود محاسبه احتمالات،  $\tilde{p}_i$  با جابجایی  $\alpha$  جدا شده اصلاح شده فرمول (۲) در فرمول (۱) باعث کم برآورد کردن احتمالات می‌شود چون نامعلومی تخمین در ضرایب  $\hat{\beta}_i$  نادیده گرفته می‌شود. با اضافه کردن عامل اصلاحی  $C_i$  به  $\tilde{p}_i$ ، احتمالات اصلاح شده بدین صورت به دست می‌آیند:

$$p(y_i=1) = \tilde{p}_i + C_i \quad \text{رابطه ۳:}$$

برای هر مشاهده  $C_i$  بدین صورت محاسبه می‌شود:

$$C_i = (0.5 - \tilde{p}_i) \tilde{p}_i (1 - \tilde{p}_i) x' \nu(\beta) \quad \text{رابطه ۴:}$$

$X$  یک بردار  $1*(n+1)$  مقادیر برای هر متغیر مستقل،  $X'$  برگردان  $X$  است و  $V(\beta)$  ماتریس واریانس-کوواریانس می‌باشد (ون دن اکوارت، ۲۰۰۶:۴۰۰).

در مطالعه حاضر چون مساحت پهنه‌های بهمنی بسیار کوچک‌تر از مساحت کل منطقه است لازم است از رگرسیون لجستیک رخدادهای نادر<sup>۲</sup> بهره جست. بدین منظور از نرم‌افزار  $R$  استفاده شد.  $R$ ، یک زبان برنامه‌نویسی و یک محیط نرم‌افزاری برای محاسبات آماری و تحلیل داده‌ها است، که بر اساس زبان  $S$  و  $Skim$  پیاده‌سازی شده است. این نرم‌افزار به صورت باز متن است و تحت اجازه‌نامه گنو به صورت رایگان در دسترس همگان قرار دارد (رئیسی، ۱۳۹۰:۱).

### اعتبار سنجی مدل

به منظور ارزیابی اعتبار مدل از شاخص  $ROC^3$  استفاده شد. چنانچه مقدار این شاخص برابر ۱ باشد نشان‌دهنده برآزش کامل مدل و چنانچه مقدار آن برابر ۰/۵ باشد نشان‌دهنده عدم برآزش مدل (تصادفی بودن مقادیر احتمال به دست آمده از تابع لجستیک) خواهد بود. این شاخص از آنجایی اهمیت دارد که مبنای آن مقادیر حقیقی احتمال

1 Van Den Eeckhaut

2 Rare event logistic regression

3 Receiver operating characteristic



نیست بلکه در نظر گرفتن مقادیر به صورت رتبه‌ای است؛ یعنی خروجی رگرسیون لجستیک رخدادهای نادر که به صورت مقادیر احتمال وقوع است به صورت نسبی بررسی می‌گردد.

#### ۴. بحث و نتایج

برای کشف رابطه بین مناطق تراکم برف به عنوان عوامل وابسته و ارتباط آن‌ها با شیب، جهت شیب، زمین‌شناسی، ارتفاع و غیره به عنوان عوامل مستقل از رابطه آماری رگرسیون لجستیک رخدادهای نادر استفاده شد. مشاهدات مناطق تراکم برف نیز در لایه‌ای جداگانه قرار گرفت و برای نقاط دارای بهمین ارزش ۱ و نقاط بدون بهمین ارزش صفر در نظر گرفته شد. برای تفسیر همبستگی موجود بین عوامل مستقل و وابسته، استفاده از ضرایب بتای موجود در رابطه رگرسیون لجستیک رخدادهای نادر ضروری می‌نماید.

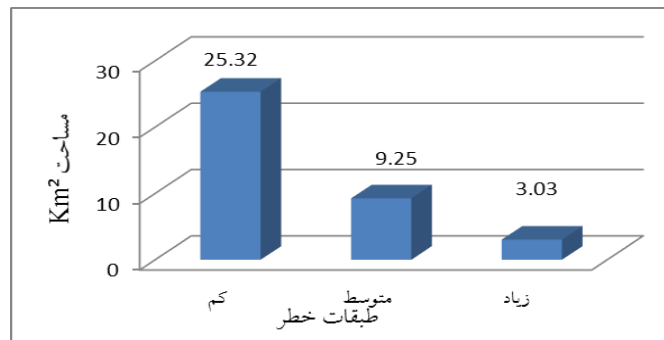
مقادیر متغیرهای پیشگو که با فرمت dbf تهیه شده بودند را وارد اکسل کرده و با فرمت CSV ذخیره و برای وارد شدن به محیط R آماده شد و با استفاده از بسته نرم‌افزاری Zelig و اجرای دستور رگرسیون لجستیک رخدادهای نادر در محیط R نتایج مدل به دست آمد. جدول (۱) نتایج حاصل از رگرسیون لجستیک رخدادهای نادر را نشان می‌دهد.

جدول ۱ نتایج رگرسیون لجستیک رخدادهای نادر

ضریب بتا	پارامتر
-۶/۲۴۷	ضریب ثابت
-۶/۹۳۶	شکل دامنه
۴/۴۳۶	ارتفاع
۱/۵۲۱	برون زدگی سنگی
۱/۲۵۴	شیب
۱/۰۷۹	جهت شیب

#### نقشه پهنه‌بندی مناطق حساس به رخداد بهمین

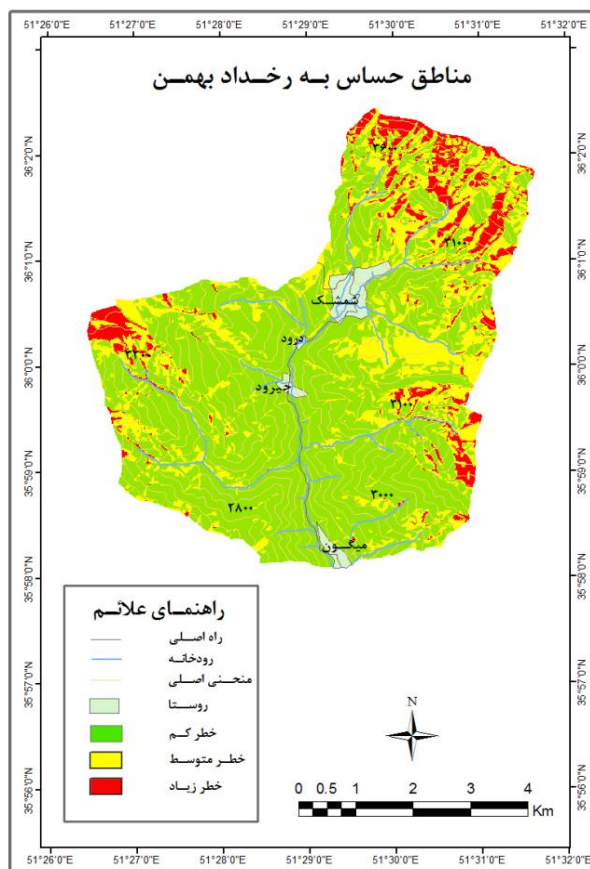
پس از آماده‌سازی لایه‌های عامل و تهیه نقشه مناطق تراکم برف که به ارزش صفر و یک رسید، اطلاعات تمام لایه‌ها به نقشه مناطق تراکم برف معرفی شد و تمام داده‌ها برای اجرای مدل رگرسیون لجستیک رخدادهای نادر در محیط R آماده شدند. بر اساس ضرایب انتخاب شده که در جدول (۱) قابل مشاهده است در نهایت ضرایب لایه‌های شکل دامنه، ارتفاع، برون‌زدگی سنگی، شیب و جهت شیب به عنوان ضرایب نهایی برای اجرای معادله استفاده شد و در نهایت نقشه مناطق حساس به رخداد بهمین به روش رگرسیون لجستیک رخدادهای نادر در سه کلاس خطر زیاد، متوسط و کم به دست آمد که شکل (۴) آن را نشان می‌دهد. کلاس‌های خطر کم ۶۷/۳۵ درصد، خطر متوسط ۲۴/۵۹ درصد و خطر زیاد ۸/۰۶ درصد از مساحت کل حوضه را به خود اختصاص داده‌اند (جدول ۲).



شکل ۴ مساحت طبقات مختلف خطر رخداد بهمن در حوضه

جدول ۲ مساحت مناطق حساس به رخداد بهمن

درجه حساسیت خطر رخداد بهمن	مساحت km <sup>2</sup>	درصد مساحت
کم	۲۵/۳۲	۶۷/۳۵
متوسط	۹/۲۵	۲۴/۵۹
زیاد	۳/۰۳	۸/۰۶



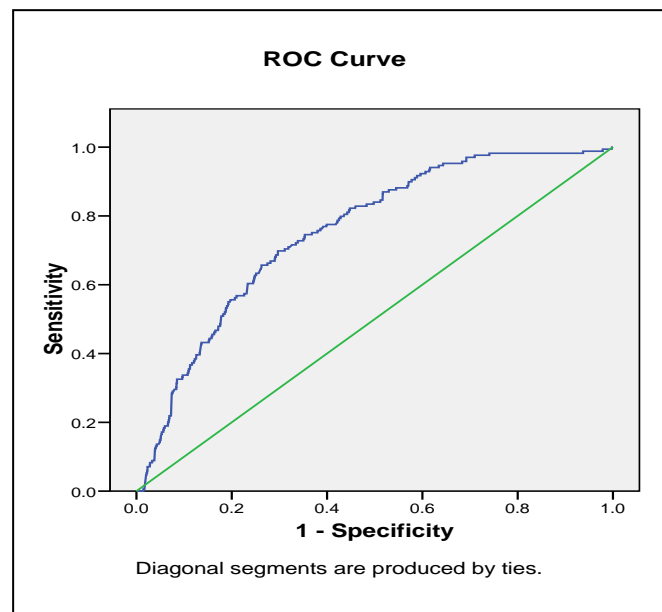
شکل ۵ نقشه پراکندگی مناطق حساس به رخداد بهمن

## اعتبارسنجی مدل

با توجه به اینکه مساحت مناطق بهمن خیز نسبت به مساحت کل منطقه ناچیز است برای اعتبارسنجی مدل ابتدا ۱۰٪ نقاط صفر و یک در نظر گرفته شد و با نیمه حوضه که تراکم نقاط صفر و یک در آن قرار داشت اعتبارسنجی انجام شد. در محیط ARCGIS نقاط صفر و یک بر روی نقشه نهایی پهنه‌بندی قرار گرفت و با استفاده از دستور Add surface information ارزش هر پیکسل به لایه نقطه‌ای قرار گرفته بر روی آن پیکسل داده شد و جدول حاصله وارد محیط<sup>۱</sup> SPSS گردید تا منحنی ROC به دست آید. جدول (۳) نتایج حاصل از اعتبارسنجی با مدل رگرسیون لجستیک رخدادهای نادر را نشان می‌دهد. مقدار سطح زیر منحنی عدد ۰/۷۵ را نشان می‌دهد که این مقدار چون به عدد یک نزدیک است می‌توان به نتایج مدل اطمینان کرد (شکل ۶).

جدول ۳ نتایج حاصل از اعتبارسنجی ROC

فاصله اطمینان		معنی داری	انحراف معیار	سطح زیر منحنی
پایین	بالا			
۰/۷۹	۰/۷۲	۰/۰۰۱	۰/۰۱	۰/۷۵



شکل ۶ منحنی ROC

## ۵. نتیجه‌گیری

با توجه به نتایج رگرسیون لجستیک رخدادهای نادر به ترتیب لایه‌های شکل دامنه، ارتفاع، رخنمون‌های سنگی، شیب، جهت شیب به‌عنوان عوامل مؤثر در منطقه تراکم برف شناخته شده‌اند. در نقشه شکل دامنه ۶۱/۴۹ درصد از منطقه تراکم در دامنه محدب و ۳۸/۵۱ درصد از منطقه تراکم برف در دامنه مقعر قرار دارد، که با توجه به مبانی نظری بیشتر به‌همین‌ها در دامنه‌های محدب اتفاق می‌افتد. لایه شکل دامنه با ضریب منفی است؛ یعنی هرچه از شکل دامنه (مقعر و محدب) به حالت دامنه صاف نزدیک‌تر شویم تراکم برف کم‌تر می‌شود؛ اما بقیه لایه‌ها ضریب مثبت دارند. بیشترین مناطق تراکم در ارتفاعات ۳۲۰۰ تا ۳۴۰۰ متر قرار دارد که در مجموع ۱۳ درصد از مساحت حوضه را به خود اختصاص می‌دهند که مناسب برای بارش از نوع برف و تراکم پوشش برف است. نقشه شیب نشان داد که ۵۸/۲۲ درصد از مناطق تراکم در شیب ۴۰-۳۰ درجه قرار دارد که این مقدار شیب مساعد برای ریزش به‌همین است. بیشترین منطقه تراکم برف در جهت جنوبی با مقدار ۴۹/۸۵ درصد و بعد از آن جهت غربی با مقدار ۲۹/۱۴ درصد است؛ زیرا بارش‌های این منطقه در زمستان‌ها غالباً مدیترانه‌ای و از سمت غرب است. جهت کلی کوه‌های منطقه مورد مطالعه غربی-شرقی بوده و از روند عمومی البرز مرکزی پیروی می‌کند. ۹۹/۹۷ درصد از مناطق تراکم در مناطق فاقد رخنمون‌های سنگی قرار دارد؛ زیرا این‌گونه مناطق مستعد برای تراکم برف هستند بزرگ‌ترین رخنمون سنگی منطقه کوه اوئک است که به‌صورت طاق‌دیزی سنگی که دهلیزهای آن محل مناسبی برای ریزش به‌همین است و بیشتر دره‌های به‌همین خیز در این طاق‌دیس قرار دارد.

به‌منظور اعتبار سنجی مدل بکار رفته در این پژوهش از روش ROC استفاده شد، که نتایج این اعتبار سنجی برای رگرسیون لجستیک رخدادهای نادر ۰/۷۵ می‌باشد که چون مقدار بالایی است (نزدیک به یک) اعتبار مدل را تأیید می‌کند.

## کتابنامه

- آرمسترانگ، بتسی؛ ناکس، ویلیامز؛ ۱۳۷۷. بهمن. ترجمه منوچهر دادخواه. انتشارات دانشگاه تهران. صص ۲۹۷.
- احمدی، حسن؛ نصری، مسعود؛ ۱۳۸۶. بررسی وضعیت بهمن‌خیزی حوزه آبخیز دره سه پستان (فریدونشهر استان اصفهان) با استفاده از تکنیک‌های GIS. نشریه دانشکده منابع طبیعی. دوره ۶۰، شماره ۱. صص ۲۳-۱۳. تهران.
- رئسی، محسن؛ ۱۳۹۰. آموزش گام‌به‌گام تحلیل شبکه اجتماعی در زبان R. گزارش تحقیقی عملی درس یادگیری ماشین. دانشگاه صنعتی امیرکبیر پلی تکنیک تهران. دانشکده مهندسی کامپیوتر و فن‌آوری اطلاعات.
- زارع بیدکی، رفعت؛ احمدی، حسن؛ مهدوی، محمد؛ صداقت‌کردار، عبدالله. ۱۳۹۰. تهیه نقشه خطر بهمن در جاده نسا-گچسر با بهره‌گیری از اطلاعات ژئومورفولوژی و اقلیم، نشریه مرتع و آبخیزداری، مجله منابع طبیعی ایران، دوره ۶۴. شماره ۳. صص ۳۰۶-۲۹۵. تهران.

- سجادیان، مهیار؛ برفی، زهرا؛ قهرمانی، محمدتقی. ۱۳۹۲. تحلیل وضعیت بهمن خیزی روستاها و راه‌های استان مازندران با بهره‌گیری از تلفیق GIS و AHP، فصل‌نامه جغرافیا و برنامه‌ریزی شهری چشم‌انداز زاگرس، سال پنجم، شماره ۱۸. صص ۸۵-۷۳. بروجرد.
- صفریان، آمنه؛ سردشتی، ماهرخ؛ ۱۳۸۶. ارزیابی خطر ناشی از سقوط بهمن و راه‌های پیشگیری از آن با استفاده از تکنیک‌های سنجش از دور و سیستم اطلاعات جغرافیایی RS&GIS مطالعه موردی: گردنه ژالانه در شهرستان مریوان. چاپ در سومین کنفرانس بین‌المللی مدیریت جامع بحران در حوادث غیرمترقبه. تهران.
- فائو؛ ۱۳۸۷. کنترل برف و بهمن. ترجمه حسن احمدی، سمیه طاهری. انتشارات دانشگاه تهران. صص ۳۱۹.
- فلاح تبار، نصراله؛ ۱۳۷۹. تأثیر برخی عوامل جغرافیایی بر شبکه راه‌های کشور. مجله پژوهش‌های جغرافیایی. شماره ۳۸. صص ۵۵-۴۷. تهران.
- قنواتی، عزت‌اله؛ کریمی، جبار؛ ۱۳۸۷. پهنه‌بندی خطر بهمن در جاده هراز بر اساس ویژگی‌های ژئومورفولوژیکی. نشریه علوم جغرافیایی. جلد ۹، شماره ۱۲. صص ۱۰۰-۸۳. تهران.
- محمدی، اقبال؛ ۱۳۷۴. بررسی بهمن و شناسایی گذرگاهی آن در حوزه آبخیز سیروان. پایان‌نامه کارشناسی ارشد به راهنمایی دکتر حسن احمدی. دانشگاه تربیت مدرس. دانشکده منابع طبیعی و علوم دریایی.
- Falahtabar, N. (2000). The effect of some geographical factors on the ways network of country. *Geographical research quarterly*, 38, 47-55.
- FAO. (1985). *Snow and avalanche control* (H. Ahmadi & S. Taheri, Trans.). Tehran: University of Teheran Press.
- Gassner, M., & Brabes, B. (2002). Nearest neighbor models for local and regional avalanche forecasting. *Natural Hazards and Earth System Sciences*, 2, 247- 253.
- Ghanavati, E. (2008). Avalanche risk zonation based on geomorphological characteristics in Haraz road. *Journal of Geographical Sciences*, 9(12), 83-100.
- Gruber, U., & Haefner, H. (1995). Avalanche hazard mapping with satellite data and a digital elevation model. *Applied Geography*, 15, 99-113.
- Mohammadi, E. (1995). *The avalanche analysis and its path identification in Sirvan watershed* (Unpublished Master thesis). Tarbiat Modares University, Tehran, Iran.
- Rice Jr, R., Decker, R., Jensen, N., Patterson, R., Singer, S., Sullivan, C., & Wells, L. (2002). Avalanche hazard reduction for transportation corridors using real-time detection and alarms. *Cold Regions Science and Technology*, 34(1), 31-42.
- Straub, D., & Grêt-Regamey, A. (2006). A bayesian probabilistic framework for avalanche modelling based on observations. *Cold Regions Science and Technology*, 46(3), 192-20.
- Van Den Eeckhaut, M., Vanwalleghem, T., Poesen, J., Govers, G., Verstraeten, G., & Vandekerckhove, L. (2006). Prediction of landslide susceptibility using rare events logistic regression: A case-study in the Flemish Ardennes (Belgium). *Geomorphology*, 76, 392-410.